

**4 - 4 伊豆半島，錢洲海嶺周辺の地震活動**

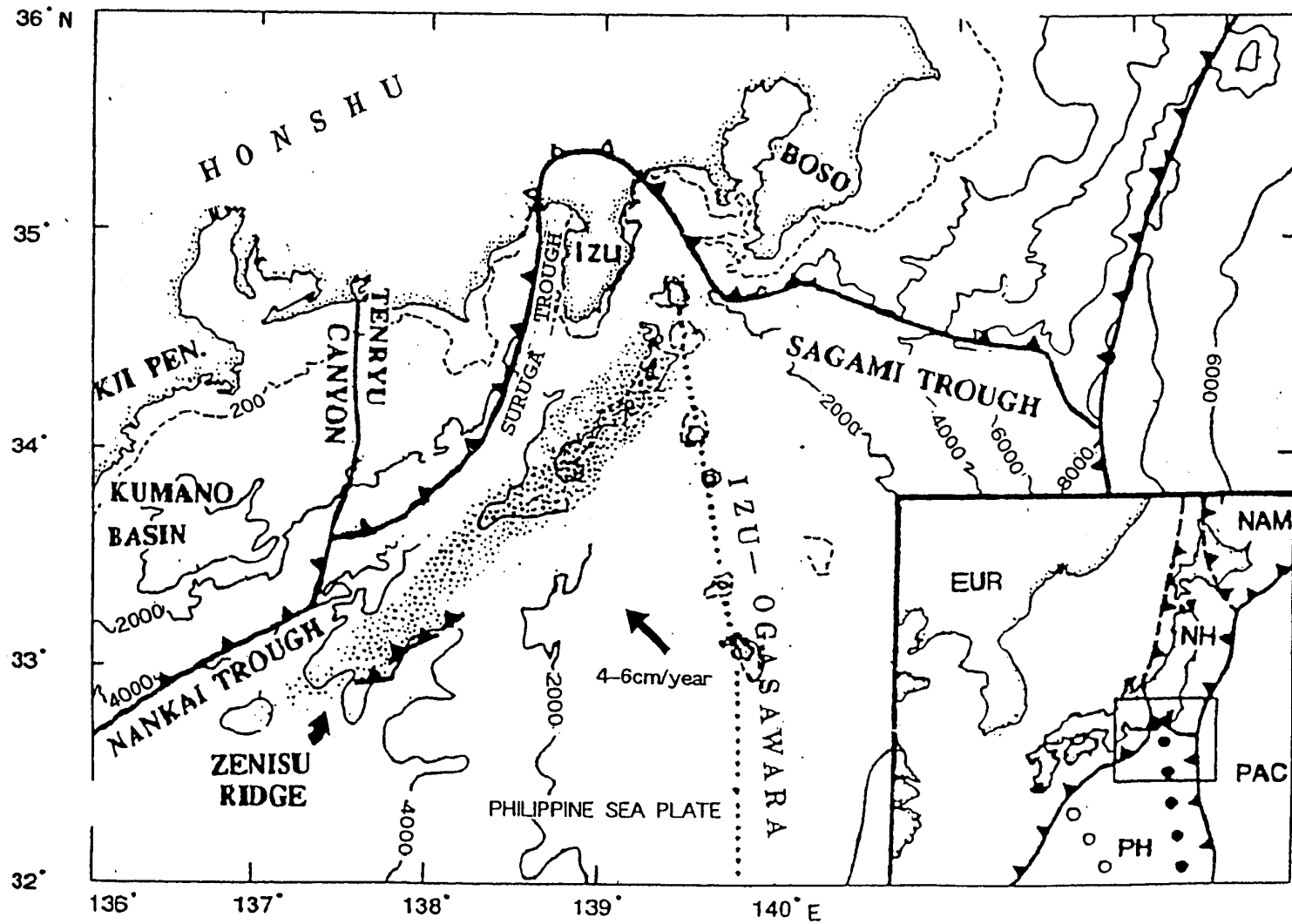
**Seismic Activity of the Region in and around the Izu Peninsula and the Zenisu Ridge**

東京大学地震研究所

地震地殻変動観測センター

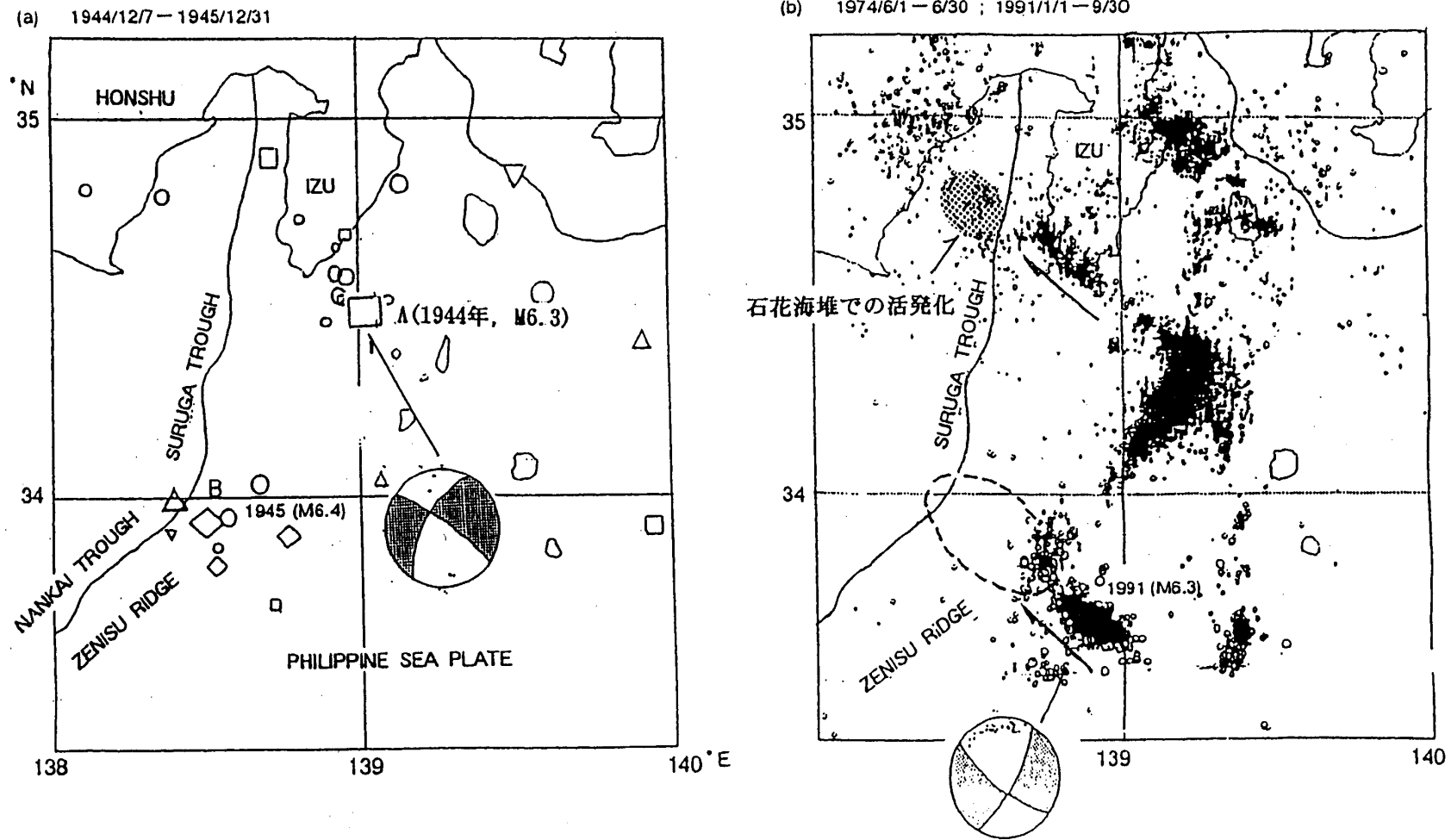
Earthquake Research Institute, The University of Tokyo

# 伊豆半島・銭洲海嶺周辺の地震活動



第1図 東海地域周辺のプレート境界と銭洲海嶺

Fig. 1 Plate Boundary in and around the Tokai Area and the Zenisu Ridge.



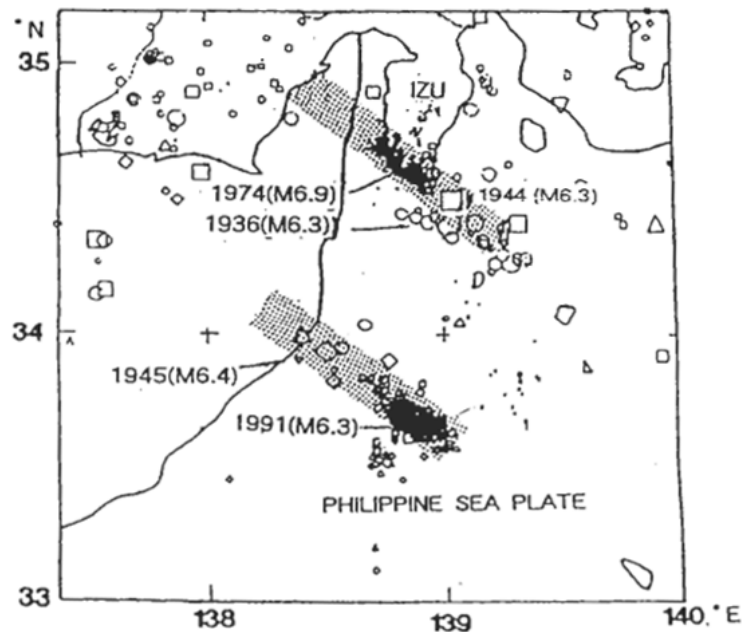
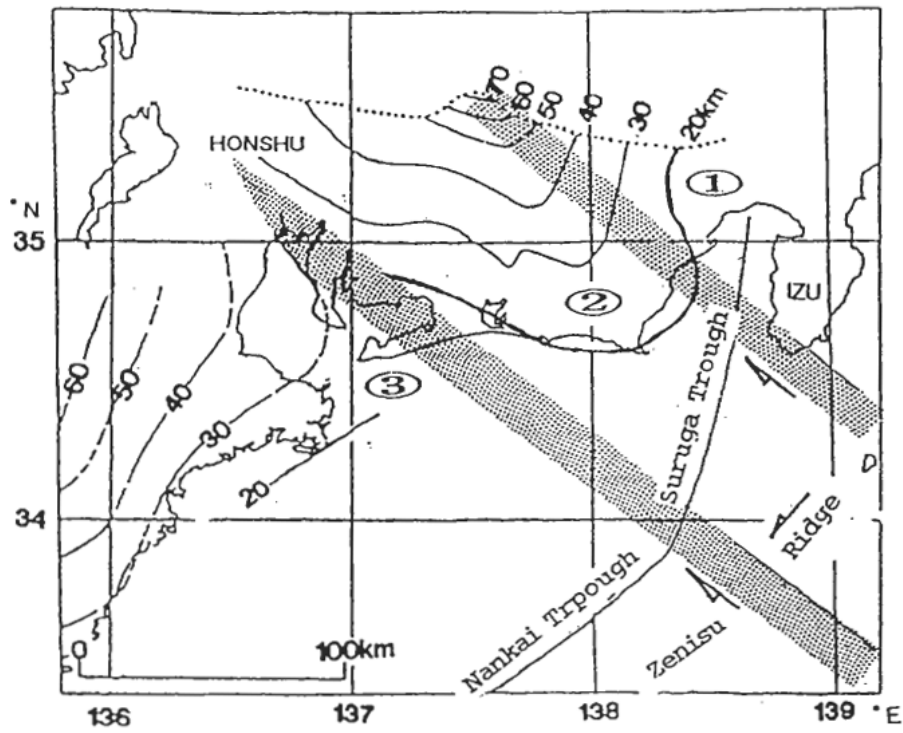
第2図 (a)1994年東南海地震直後の活動期 (1944年12月7日~1945年12月31日)

(b)最近の活動期 (1974年6月1日~30日と1991年1月1日~9月30日の合成図)

Fig. 2 Epicentral Distribution in and around the Tokai Area

(a)in the Period immediately after the 1944 Tonankai Earthquake (from December 7, 1944 to December 31, 1945) and

(b)in the recent periods (from June 1 to 30, 1974 and from January 1 to September 30, 1991)



第3図 (上図) 東海地域周辺の震源分布からみた 1)駿河, 2)東海, 3)東南海スラブの境界と内陸部におけるフィリピン海プレート上面の等深度線と銭洲海嶺, 駿河トラフ周辺における M6 クラスの地震を含む北西-南東の Shear Zone (ハッチを入れた領域) との関係 (山崎, 大井田, 1985 に加筆)。←: 断裂帯 A, B および銭洲海嶺の地震の発震機構解からみた横ずれの方向。(下図) 1936 年新島地震 (M6.3), 1994 年新島地震 (M6.3), 1974 年伊豆半島沖地震 (M6.9) は 1)駿河スラブと 2)東海スラブの境界に沿う断裂の延長線上で発生し, 1945 年 (M6.4) および 1991 年 (M6.3) 東海はるか沖地震は 2)東海スラブと 3)東南海スラブの境界に沿う断裂の延長線上で発生した。

Fig. 3 (upper Fig.) 1)Suruga 2)Tokai 3)Tonankai Slabs of the Philippine Sea Plate Separated by the NW-SE trending shear zone. (lower fig.) Location of the M6 class major earthquakes in relation to the shear zones.